

Дж/г·ат, $I \approx 6$ эВ, а около $7 \cdot 10^{-8}$ см²·кГц⁻¹). Если константы m находятся в пределах этих значений, то он способен образовать СВГ, если же какой-либо из параметров существенно хуже предела значения, то возможность существования СВГ представляется весьма дискуссионной.

Интересен случай лития, параметры которого близки к предельно, однако СВГ этот металл образует легче, чем, например, натрий. объяснение аномалии лития следует учесть ограничения предложенного критерия.

Таким образом, предлагаемый критерий позволяет по значениям констант энергии атомизации U , потенциала ионизации I и сжигания a — определить, способен ли металл к образованию СВГ, и сравнить два металла по способности к внедрению в графит при эмпирическом уравнении (1).

СИСТОМЫ ЛИТЕРАТУРЫ

- Ббслоде А. Р., Льюис Ф. А. Графит и его кристаллические соединения. 256 с. 2. McDonnell F. R. M., Pink R. C., Ubbelohde A. R. — J. Soc. London, 1951, N 1, p. 191. 3. Hennig G. R. — J. Chem. Phys., 1965, 43, 34. Roth G., Luders K., Pfluger P., Guntherodt H.-J. — Solid State, 1981, 39, p. 423. 5. Herold A. — In: Physics and chemistry of materials with structures, vol. 6. Dordrecht, 1979, p. 323—421. 6. Guerard D., Zel-Herold A. — C. r. Acad. Sci. Paris, 1976, C 283, N 11, p. 437. 7. Химия и физическая таблица, под ред. К. Сайто. М., 1982, 320 с. 8. Rudolf W., Schulz-Z. anorg. allg. Chem., 1954, 277, p. 156. 9. Metrot A., Guerard D., Bill-Herold A. — Synth. Met., 1980, 1, p. 363. 10. El Macrini M., Guerard D., Lagrange P., Herold A. — Carbon, 1980, 18, p. 203. 11. Guerard D., El Macrini M., Lagrange P., El Macrini M., Herold A. — Carbon, 1980, 18, 12. Постников В. А., Какулин П. В., Хананашвили Л. М., Ю. В. Новиков Ю. Н., Вольгин М. Е. — Изв. АН СССР. Сер. хим., 1984, с. 671. 13. Quatermann L., Primak W. — J. Am. Chem. Soc., 1952, 74, 14. Saehr D. — Bull. Soc. Chim. France, 1964, N 6, p. 1287. 15. Агоп-Salzano F. J., Bellafiore D. — J. Chem. Phys., 1968, 49, p. 434. 16. Agop-Salzano F. J., Salzano F. J. — Nucl. Sci. and Eng., 1969, 38, p. 187.

Поступила в редакцию
13.06.83

МОСК. УН-ТА. СЕР. 2. ХИМИЯ. 1984. Т. 25, № 5

63-19'655/46'41'11

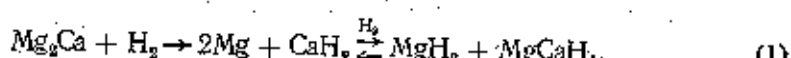
ВЗАИМОДЕЙСТВИЕ С ВОДОРОДОМ СПЛАВОВ СИСТЕМЫ Mg—Ca—Ce

Н. Семененко, В. Н. Вербецкий, А. Н. Сытников

(факультета физики и химии высоких давлений)

Реакция гидрогенолиза некоторых интерметаллических соединений, сопровождающаяся образованием гидрида магния, предстает несомненный практический интерес.

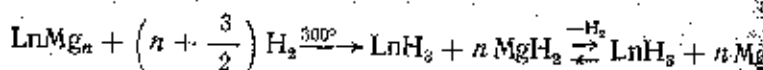
В работе [1] было показано, что гидрирование ИМС Mg₂Ca описывается уравнением (1):



С протекает с достаточным выходом при 320—400° и 10 atm H₂. По данным работ [2, 3] взаимодействие ИМС магния в этих условиях происходит с большей скоростью по урав-

N59

нению:



В настоящей работе исследовано взаимодействие с водородом новых сплавов системы Mg—Ca—Ce, ограниченных разрезом Mg—CeMg₁₂.

Результаты и обсуждение. Исходные сплавы готовили сплошь из чистых металлов в тигельной печи под слоем LiCl—KCl. Полученные образцы анализировали на содержание

Характеристика исходных сплавов и продуктов их гидрирования

№ образца	Состав образца, вт. %			Фазовый состав образцов		Адсорбированный водород, вес. %	Темп. обраб. град.
	Mg	Ca	Ce	до гидрирования	после гидрирования		
1	74,7	27,0	1,3	Mg ₂ Ca Mg CeMg ₁₂	MgH ₂ , CaH ₂ Mg — много MgCaH ₄ , CeH ₃ — мало	5,7	
2	79,7	16,6	3,7	Mg ₂ Ca CeMg ₁₂ Mg	MgH ₂ , CeH ₃ Mg — много MgCaH ₄ — мало CaH ₂	4,6	
3	88,0	5,6	6,4	CeMg ₁₂ Mg ₂ Ca	MgH ₂ , CeH ₃ Mg — много MgCaH ₄ — следы	4,4	
4	96,8	1,3	1,9	Mg CeMg ₁₂	MgH ₂ , CeH ₃ Mg — много	4,9	
5	95,0	3,1	1,9	Mg CeMg ₁₂ Mg ₂ Ca	MgH ₂ , CeH ₃ Mg MgCaH ₄ — мало	5,5	
6	94,9	1,7	3,4	Mg CeMg ₁₂ Mg ₂ Ca	MgH ₂ , CeH ₃ , Mg MgCaH ₄ — следы	5,4	
7	91,7	6,3	2,0	Mg CeMg ₁₂ Mg ₂ Ca	MgH ₂ , CeH ₃ , Mg MgCaH ₄ — мало CaH ₂	5,7	
8	66,7	33,3	—	Mg ₂ Ca	MgH ₂ , MgCaH ₄ Mg — следы	5,9	
9	89,5	—	10,5	Ce ₂ Mg ₁₇	MgH ₂ , CeH ₃ Mg — следы	5,1	
10	100	—	—	Mg	MgH ₂ , Mg	3,7	

ия. Рентгенофазовый анализ (РФА) сплавов и продуктов их гидрирования проводили на дифрактометре ДРОН-2 (Си-анод, Ni). Химический и фазовый состав сплавов приведен в таблице. Количество и скорость поглощения водорода определяли по избыточному давлению в калиброванной системе, описанной в работе [4]. Кратные навески сплавов подвергали гидрированию при постоянных давлениях водорода в системе и сопоставляли полученные результаты. Содержание водорода в продуктах гидрирования

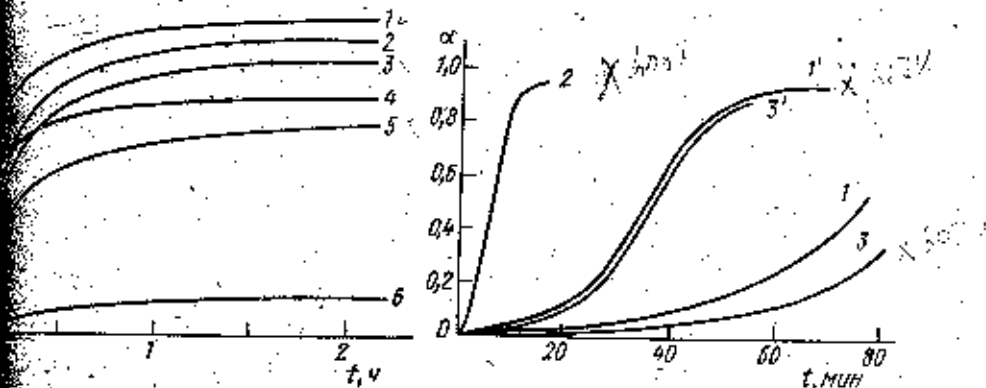


Рис. 2. Кинетика десорбции водорода ($P=1$ атм) сплавами Mg_xCa : 1 — 333°; 1' — 344°; $CeMg_{1-x}$; 2 — 333°; $Mg_{0.5}Ca_{0.5}Ce_{0.5}$; 3 — 330°; 3' — 344°

кривые поглощения водорода сплавами $Mg—Ca—Ce$ различных обра- зований при 300°: 1 — № 7, 2 — № 5, 3 — № 1, 5 — магний, 6 — № 5 при 150°.

тировали методом высокотемпературного вакуумного ниролиза. Скорости десорбции водорода образцами проводили при постоянном давлении (1 атм). Выделяющийся водород собирали в пристекляющую вакуумированную емкость большого объема, соединенную с вакуумметром. По изменению давления в приемнике и кривые десорбции водорода.

Параметры состояния системы $Mg—Ca—Ce$ к настоящему времени изучена. Как видно из данных таблицы, фазовый состав сплавов в магниевом углу указанной системы характеризуется комбинированными фазами — $CeMg_{1-x}$, Mg_xCa и Mg . Тройных соединений в исследованной области не обнаружено. Результаты РФА продуктов гидрирования подтверждают, что взаимодействие сплавов с водородом описывается известными реакциями (1), (2) для компонентов сплава.

В случае (обр. № 1, 2, 7) образование тройного гидрида не наблюдалось или оно происходило не полностью. Гидрирование магниевовой фазы протекает не до конца, чем и объясняется большое содержание водорода в образцах по сравнению с расчетом. Вероятно, этот эффект связан также с большой склонностью образованием спеканию при 300—350°, что приводит к уменьшению активности поверхности сплава. Десорбция водорода сопровождается обратным магниевым и термически устойчивым гидридом кальция и церия, снижает количество «обратимо» абсорбированного в данных условиях водорода.

Поверхностная характеристика скорости поглощения водорода магнием и системой $Mg—Ca—Ce$ показана на рис. 1. Приведенные кинетические кривые соответствуют образцам, прошедшим

6—7 циклов «сорбция—десорбция» водорода. В связи с этим ционные характеристики несколько ниже, чем приведенные в так как они относятся только к обратимо связанныму водороду учета образования дигидридов кальция и церия.

Как видно на рис. 1, начальные скорости поглощения водорода образцами относительно велики и намного превосходят таков чистого магния. Увеличение содержания легирующих металлов в сплаве приводит к увеличению скорости поглощения и количества сорбированного водорода (обр. № 4, 5, 7). Однако в дальнейшем увеличении содержания Ca и Ce происходит снижение как скорости поглощения водорода из-за уменьшения количества сорбируемого количества водорода из-за уменьшения содержания магния в сплаве (обр. № 1). Снижение температуры реакции приводит к уменьшению скорости взаимодействия образца с водородом, и при 150° она становится весьма низкой. Таким образом, несомненен каталитический эффект добавок Ca и Ce, что видно из сравнения характеристик процесса сорбции водорода сплавов Mg—Ca—Ce и Mg.

Десорбция водорода гидридными фазами магниевых сплавов имеет автокатализитический характер, что вытекает из ярко выраженной симметричной формы кривых разложения (рис. 2). Период полуположения колеблется от десятков минут при 333° до нескольких минут при 150°. В отличие от скорости сорбции водорода скорость его десорбции кальцийсодержащими образцами намного меньше, чем для сплава $2\text{CeH}_3 + 17\text{MgH}_2$. Оценка значений энергии активации разложения продуктов гидрирования $\text{Ce}_2\text{Mg}_{17}$, Mg_2Ca и $\text{Mg}_{91.7}\text{Ca}_{4.3}\text{Ce}_{2.0}$ дает величину около 18—19 ккал/моль H_2 при температуре с 29—30 ккал/моль H_2 [5] в случае разложения чистого магния.

СПИСОК ЛИТЕРАТУРЫ

1. Koi N., Yoshihiko I., Schiichiyo O. — J. Ceram. Soc. Japan, 88, N 990, p. 67. 2. Dartier B., Pezat M., Héjika A., Nagel et al. — Mater. Pres. Bul., 1979, 14, p. 377. 3. Семененко К. Н., Вербенский В. А., Чуков А. В. — ДАН СССР, 1981, 258, с. 362. 4. Семененко К. Н., Вербенский В. Н., Митрохин С. В., Бурнашева В. В. — ЖНХ, 1980, 25, N 990, p. 67. 5. Stander C. M. — J. Inorg. Nucl. Chem., 1977, 39, p. 221.

Поступила в редакцию
01.04.83